



روش برآورد ارتفاع خط برف مرز دائمی ایران و مقایسه آن با روش رایت

غلامحسن جعفری: استادیار ژئومورفولوژی، دانشگاه زنجان، زنجان، ایران *

وصول: ۱۳۹۰/۱۱/۱۸ پذیرش: ۱۳۹۱/۰۵/۲۲، صص ۱۱۸-۹۹

چکیده

یکی از روش‌های متدالوی تعیین ارتفاع برف مرز دائمی کواترنر در بین محققین یخچالی ایران، روش رایت است. در این روش، پس از تشخیص تعداد و ارتفاع سیرک‌های یخچالی به کمک نقشه‌های توپوگرافی ۱/۵۰۰۰۰ و محاسبه‌ی درصد تجمعی پراکندگی سیرک‌ها در ارتفاعات مختلف، ارتفاعی که ۶۰ درصد از سیرک‌ها بالاتر از آن هستند را به عنوان ارتفاع برف مرز دائمی و دمای صفر درجه سانتیگراد دوران یخچالی را به آن نسبت می‌دهند. این روش هر چند بسیار مطلوب و کاربردی است، ولی معمولاً تشخیص تعداد سیرک‌های یخچالی بر روی نقشه‌ی توپوگرافی و تعیین یک نقطه برای برآورد ارتفاع سیرک، به طرز تفکر و دقت محقق بستگی دارد. در این مقاله سعی شده است با استفاده از متغیرهای مؤثر بر ارتفاع برف مرز دائمی، مثل؛ عرض جغرافیایی، دما، مقدار و جهت شبی سطوح ارضی در ایستگاه‌های تابش سنجدشون، روابطی ارائه داد تا به کمک آن‌ها بتوان ارتفاع برف مرز دائمی را برآورد نمود. با توجه به اینکه مقدار انرژی دریافتی از خورشید در صورت مسطح بودن زمین تغییرات زیادی ندارد از ۱۶ ایستگاه اقلیمی برای کل ایران استفاده شده است. در صورتی که جهت و مقدار شبی به عنوان مهمترین پارامترهای اثرگذار در زاویه ارتفاع خورشیدی و در نتیجه انرژی دریافتی از خورشید، تغییرات زیادی دارد، سعی شده از روابطی استفاده کرد که بتوان بواسطه آن‌ها دما را با توجه به تغییر زاویه ارتفاع خورشید در ایستگاه‌ها و تغییرات زاویه ارتفاع خورشیدی در سطوح شبی دار با جهت های مختلف و دمای‌های حاصله رابط برقرار نمود و از این روابط برای برآورد ارتفاع برف مرز دائمی یا خط تعادل آب و بخ استفاده نمود. نتایج اولیه بیانگر این است که در روش ارائه شده فقط با استفاده از عرض جغرافیایی محل و جهت و مقدار شبی و طول جغرافیایی (برای تشخیص ایستگاه اقلیمی منطقه) براحتی می‌توان مقدار ارتفاع برف مرز دائمی را برآورد نمود و دیگر به روش‌های طولانی رایت و نقشه‌های توپوگرافی نیازی نیست.

واژه‌های کلیدی: روش رایت، سیرک، برف مرز دائمی، عرض جغرافیایی، یخچال کوهستانی.

*نویسنده مسؤول:

E-mail: jafarihas@yahoo.com

مقدمه

است (یمانی، ۱۳۸۶: ۱۲۷). مطالعات هاگه درن^۰ و همکاران در شیرکوه یزد حاکی از وجود توپوگرافی یخچالی قدیمی در این کوه (۴۲۰۰ متر ارتفاع) می باشد (میراحمدی و همکاران، ۱۳۹۰: ۶۵). نگارش (۱۳۷۷) حد برف های دائمی کواترنر در شمال ایران را با توجه به ارقام متفاوتی که ارائه شده است در حدود ۳۶۰۰ متر می داند (نگارش و خسروی، ۱۳۷۷: ۱۴۷). به نظر می رسد پایین ترین ارتفاع شناخته شده برای سیرک های بخچالی حدود ۱۶۰۰ تا ۱۷۰۰ متری سطح دریا باشد (زمردیان، ۱۳۸۱، ۴۱).

در جنوب غرب ازنا در اشتران کوه، رایت یخرفت های یخچالی جبهه شمالی را در دره های کوچک تا ارتفاع ۲۶۰۰ متر مشاهده کرده است (رامشت و همکار، ۱۳۸۳: ۱۲۲). در کوه های تالش، یخرفت های که در شرق و غرب قله با غرور (بکروداغ) وجود داشته، زمین های زیادی را پوشانده و در دره کرگانرود تا ارتفاع ۱۲۰۰ پایین آمده است (طاھونی، ۱۳۸۳: ۳۲). در جنوب غرب رشت، در دره ماسوله، یک یخچال دره ای مهم وجود داشته که یخرفت های آن در وورم اخیر تا ارتفاع ۴۰۰ متری دریا پائین آمده است. به نوشته پدرامی یخچال دره ای بزرگ کرج ۹۰ کیلومتر طول داشته و تا محل شهر فعلی کرج گسترش یافته بود، در بخش میانی و پائینی این یخچال ضخامت یخ به ۱۵۰ متر می رسید. در وورم قدیم یخچال دره ای جاگرود نیز تا ارتفاع ۱۴۰۰ متر پائین آمده است. پدرامی (۱۹۸۲) از

در شرایط کنونی هر چند که امکان تشکیل یخچال در بسیاری از ارتفاعات ایران فراهم نیست ولی باید اذعان نمود که بهره برداری از پتانسیل های آب و خاک بدون در نظر گرفتن فرایندهای اقلیمی دوران چهارم غیر ممکن است. از همین رو متخصصان علوم زمین، بخصوص در دو دهه اخیر، سعی زیادی نموده اند که ارتفاع برف مرز و خط تعادل آب و یخ کواترنر ایران را هر چه دقیق تر برآورد نمایند تا بتوانند در ارائه طرح های آمایش سرزمین موفقی تر عمل نمایند.

ارتفاع برف مرز کواترنر از جمله مباحث مهم علوم زمین از اوآخر قرن نوزدهم تا کنون بوده است. ژاک دومرگان^۱ در سال ۱۸۹۰ در توصیف از وضع طبیعی لرستان از سیرک یخچالی قدیمی اشتران کوه در ارتفاع ۳۸۰۰ متر و سیرک دیگر در قلیان کوه در ارتفاع ۲۴۴۰ متر نام برده است، همچنین در جنوب غرب ازنا، رایت^۲ سیرک یخچالی جبهه شمالی را در ۳۰۰۰ متر مشاهده کرده است (یمانی و همکاران، ۱۳۹۰: ۳۶). دزیو^۳ در سال ۱۹۳۳ در منطقه زردکوه ضمن خبر دادن از وجود چندین یخچال کوچک فعلی به آثار یخبدان های گستردۀ قدیمی اشاره کرده است. کریستف پروی^۴ (۱۹۸۰) حد پائین تر زبانه یخچالی را در زردکوه در حداکثر گسترش، در ارتفاع ۳۲۰۰ متری از سطح دریا برآورد کرده

^۱ - De Morgan^۲ - Write^۳ - Dezio^۴ - Christoph preu^۵ - Hagedorn

۳۵۰۰ متر (هاگه درن) ۳۷۰۰ متر (درش) ۳۸۰۰ متر (گرونر)^۶ و ۴۰۰۰ متر (شوایترز)^۷ ارائه داده اند (محمودی، ۱۳۶۷: ۱۲). ۳- گروه سوم کسانی بوده اند که به دره ها، یخ رفت ها یا مورن های یخچالی در مقیاس های متفاوت توجه کرده اند. روش ارائه شده در این مقاله، ارتفاع برف مرز دائمی را با توجه به اثر زاویه ارتفاع خورشیدی بر مقدار انرژی دریافتی و دمای مکان، برآورد می نماید. لازم به ذکر است، ارائه این روش به معنی نادیده گرفتن مسائل زمین شناسی و سایر عواملی که منجر به تعادل و تفاوت های دمایی می شوند، نیست. برای بررسی میزان اثر گذاری زاویه ارتفاع خورشیدی بر ارتفاع برف مرز دائمی، از مطالعه موردی کوه سفید اقلید با قله ای ۳۹۶۵ متری بُل در عرض جغرافیایی ۳۱ درجه شمالی و طول ۵۲ درجه شرقی و شیرکوه یزد با ارتفاع ۴۰۵۰ متر در ۳۲ درجه شمالی و ۵۳ درجه شرقی، در دو جهت غالب شمال غرب و جنوب شرق این کوه با توجه به مقدار شیب، استفاده شده است.

داده ها و روش شناسی

برای تشخیص ارتفاع برف مرز دائمی و یا ارتفاع خط تعادل آب و یخ، با توجه به خطوط هم دمای ارائه شده از طرف محققین (ارتفاع دمای صفر درجه سانتیگراد برای برف مرز و پنج درجه سانتیگراد برای خط تعادل آب و یخ) لازم است تفاوت دریافت انرژی و در نتیجه تفاوت دمایی ایجاد شده در سطوح شیب دار با جهات مختلف

⁶ - Groter

⁷ - Schweitzer

آثار یک یخچال دره ای در جنوب کاشان (یخچال دُره) بحث می کند که یخرفت های جانبی آن به خوبی حفظ شده است. در اطراف آربابا در منطقه بانه یخچال بروژکن، یخچال رشید چال و یخچال چناره، در مریوان یخچال های بیکوس، آبخورده و کوپر حدود ۱۵ الی ۲۱ کیلومتری جنوب شرق شهر مرزی خانه از یخچال های معروف این بخش می باشد (صغری مقدم، ۱۳۸۳: ۱۲۵).

از مطالب بالا بر می آید که هر چند آثار مرفولوژیکی یخبدان های کواترنر در ایران حداقل از اوآخر قرن ۱۹ شناخته شده بود (رامشت، ۱۳۸۱: ۱۴) ولی برای مشخص کردن ارتفاع برف مرز دائمی از روش های مختلفی استفاده شده است. از جمله: ۱- نصف ارتفاع که در آن میانگین ارتفاع سطح یخچال کنوی ۱ حد بر فی دائم محسوب می شود (کورووسکی^۱ نقل از هوم لوم^۲، ۱۹۸۸). ۲- گروهی از محققین یخچال شناسی برای ارتفاع برف مرز کواترنر، ارتفاعی را پیش نهاد داده اند که گویا با اولین نشانه ها و آثار فرایندهای یخچالی قبل مشاهده، در مقیاس بزرگ، انطباق بیشتری داشته است تا ارتفاع برف مرز دائمی. شاید هم آن ها در پی بیان مشاهده ای آثار فرایندهای یخچالی در آن ارتفاع بوده اند. با توجه به این دیدگاه برف مرز های مطرح شده برای البرز ۳۴۰۰ متر (بوبک)^۳ و ۳۶۰۰ متر (درش)^۴ و در ایرن مرکزی ۳۲۰۰ متر (کهل)^۵

¹ -kerovsky

² - Homelom

³ -H.Bobek

⁴ -deresh

⁵ -Kuhle

۱۶ جهت اصلی و فرعی و در تمامی عرض‌های جغرافیایی ایران (از ۲۵ تا ۴۰ درجه شمالی) برآورده است. سپس با استفاده از ارقام برآورده، روابط بین زاویه شیب زمین با زاویه ارتفاع خورشیدی بر حسب درجه، در ماه‌ها و عرض‌های جغرافیایی مختلف ایران و در جهات مختلف، محاسبه شده است. سپس این روابط را به روابط بین دما با زاویه شیب تبدیل کرده که به کمک آن‌ها می‌توان در هر شیب و جهتی، ارتفاع دمای مورد نظر را برآورد نمود. البته از فاکتور طول جغرافیایی، برای مشخص کردن ایستگاه مبدأ محاسبه‌ی دما در ارتفاعات مختلف ایران زمین به طور غیر مستقیم استفاده شده است (معیری و همکاران، ۱۳۸۹: ۲). پیش فرض این روش در نظر گرفتن ۸/۸ درجه سانتی گراد کاهش دمای کواترنس نسبت به دمای کنونی است (جعفری، ۱۳۸۸: ۱۴۴).

در اثر برخورد انرژی خورشید با سطح زمین زوایای متعددی حاصل می‌شود که زاویه ارتفاع خورشیدی، زاویه تابش و زاویه سمت الرأس از آن جمله‌اند (شکل ۱).

مقدار زاویه ارتفاع خورشیدی در سطوح شیبدار از رابطه (۱) برآورد می‌گردد (Joe Michal sky, 1988: 90)

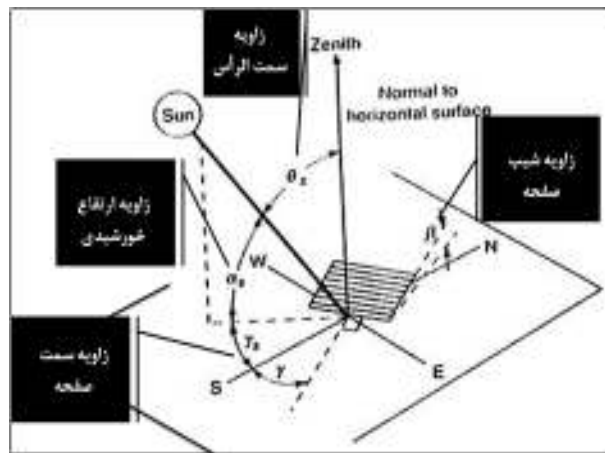
را مشخص کرد. دما، برآیندی از عوامل مختلف از جمله میزان انرژی دریافتی از خورشید است که انرژی دریافتی به عوامل مختلفی از جمله زاویه ارتفاع خورشید و مقدار انرژی رسیده به واحد سطح بستگی دارد. بدین منظور ابتدا لازم است که زاویه ارتفاع خورشیدی را در شیب‌های متفاوت برآورده نماییم. سپس به بررسی میزان انرژی دریافتی از خورشید در ایران با توجه به وضعیت متفاوت سطوح ارضی از نظر شیب، جهت شیب و زاویه ارتفاع خورشیدی پرداخته شده است. در مراحل بعد ابتدا متوسط شیب سطوح ارضی که امکان تشکیل یا ورود یخچال‌های کوهستانی را داشته‌اند، برآورده گشته و ارتفاع برف مزد و خط تعادل آب و یخ کواترنس و کنونی با توجه به قلل مرتفع و جهت شیب سطوح ارضی ناشی از آن‌ها برآورده شده است.

الف) برآورده زاویه تابش در سطوح شیبدار

برای برآورده زاویه ارتفاع خورشید در سطوح شیبدار فرمول‌های متعددی ارائه شده است. در اینجا با استفاده از یکی از فرمول‌های تجربی که فاکتورهای فوق را مد نظر قرار داده و برنامه نویسی در محیط C++, ابتدا متوسط روزانه و سپس متوسط ماهانه زاویه ارتفاع خورشید را در سطوح شیبدار مختلف (از صفر تا ۹۰ درجه) در

(رابطه ۱)

$$\cos \theta = \sin \alpha \sin \varphi \cos \beta - \sin \alpha \cos \varphi \sin \beta \cos \gamma + \cos \alpha \cos \varphi \cos \beta \cos \alpha + \cos \alpha \sin \varphi \sin \beta \cos \gamma + \cos \alpha \sin \beta \sin \gamma \sin \alpha$$



(http://www.architecture.uwaterloo.ca)

$$\delta = 23/45 \sin(360 \frac{284+n}{365})$$

در رابطه (۲) n شماره روز سال است. در محاسبات سالانه δ از روز متوسط هر ماه، یعنی روزی که زاویه میل خورشید در سطح خارجی جو، نزدیکترین مقدار را به متوسط ماهانه داشته باشد، استفاده شده است (آزاد و همکاران، ۱۳۶۶: ۱۲).

زاویه سمت صفحه: یا زاویه سطح شیب دار، زاویه افقی است که به وسیله خطی عمود بر زمین و محور شمال و جنوب ایجاد می شود (واتسن و لب، ۱۳۷۲: ۴۵). در نیمکره شمالی هنگامی که $\gamma = 0$ باشد، صفحه کاملاً به سمت جنوب بوده و زمانی که صفحه به طرف شرق جنوب باشد، γ منفی و هنگامی که به سمت غرب جنوب باشد، γ مثبت است. این زاویه بین 180° درجه مثبت و منفی متغیر است. جهت شیب سطوح ارضی، در یک مقیاس 360° می تواند تا بی نهایت متغیر باشد. در این مقاله 16 جهت: شمال، شمال شرق، شمال شرقی، شرق شمال شرق، شرق، شرق جنوب شرقی، جنوب

زاویه تابش خورشید: زاویه بین راستای تابش مستقیم خورشید و راستای عمود بر صفحه افق، متمم زاویه ارتفاع خورشید است.

β زاویه شیب: زاویه ای است بین سطح صفحه مورد نظر و سطح افق.

δ زاویه میل یا انحراف خورشیدی: موقعیت زاویه خورشید در ظهر خورشیدی نسبت به صفحه استوا می باشد. میل خورشید در یک سال تقریباً به صورت سینوسی تغییر می کند. در اول بهار و اول پاییز، میل خورشید برابر صفر می گردد. این وضعیتها به ترتیب اعتدال بهاری و اعتدال پاییزی نامیده می شوند. در اول تابستان به مقدار ماکزیمم $27^\circ 23^\circ$ و در اول زمستان به مقدار کمینه $27^\circ 23^\circ$ می رسد. این وضعیتها به ترتیب انقلاب تابستانی و انقلاب زمستانی نام دارند. (تفیسی و دیگران، ۱۳۸۳: ۱۹۶). جهت محاسبه زاویه انحراف از رابطه کوپر (۱۹۶۰) (رابطه ۲) استفاده شده است (عسکری و همکار، ۱۳۸۴: ۲۴)؛

(رابطه ۲)

دقیقه و $\frac{8}{4}$ ثانیه در اول تیرماه و کوتاه ترین روز ۹ ساعت و $\frac{38}{67}$ دقیقه و $\frac{2}{67}$ ثانیه در اول دی ماه در شمالی ترین عرض جغرافیایی ایران (ماکو) به دست آمده است (روضایی، ۱۳۸۰، ۸۱) با توجه به این تفاوت، برای محاسبه دقیق تر X ، به گونه‌ای برنامه نویسی شد که در عین حالی که طولانی ترین روز را در برگیرد، بتواند ساعتی که تابش مستقیم خورشید در محلی وجود ندارند را در نتیجه گیری حذف نماید. برای برآورد $\cos\theta$ در رابطه (۱)، اعداد به طور مرتب بین 105° - 135° با فاصله 4° ، تغییر و جایگزین ω گردیده است (دوران زمین هر 4° دقیقه یک درجه است، این تغییر، امکان برآورد زاویه ارتفاع خورشیدی را در هر چهار دقیقه فراهم می‌سازد). در صورتی که منطقه‌ای هنوز در معرض تابش مستقیم خورشید قرار نگرفته باشد، زاویه ارتفاع خورشیدی از صفر کمتر و منفی می‌شود و رقم برآورد شده، از داده‌ها خارج شده و تأثیری در محاسبه میانگین ماهانه زاویه ارتفاع خورشیدی ندارد. البته برای صفحات افقی ($\beta = 0^{\circ}$) رابطه (۱) به صورت رابطه (۴) ساده می‌شود:

(رابطه (۴))

$$\cos\theta = \cos\sigma \cos\varphi \cos\omega + \sin\sigma \sin\varphi$$

پس از بدست آمدن $\cos\theta$ و مشخص کردن $\cos\theta$ و کسر 90° درجه از آن، زاویه ارتفاع خورشیدی (α) برآورد می‌گردد. زاویه سمت الرأس با زاویه ارتفاع خورشید متمم یکدیگرند. یعنی مجموع آنها ($\alpha + \theta$) 90° درجه می‌شود. سپس مقدار میانگین انرژی دریافتی از خورشید بر تراز افقی سطح زمین در طول سال

شرقی، جنوب^۹ جنوب شرقی، جنوب، جنوب^{۱۰} جنوب غربی، جنوب غربی، غرب^{۱۱} جنوب غربی، غرب، غرب^{۱۲} شمال غربی، شمال غربی و شمال^{۱۳} شمال غربی با فاصله $22/5^{\circ}$ انتخاب شده و میانگین زاویه تابش ماهانه در هر جهت و در هر درجه شب برآورد گردید.

(۱۱): زاویه ساعتی خورشید، مقدار زاویه یا کمانی است که خورشید از رصد قبلی خود در نصف النهار محل، بر حسب زمان طی کرده است. چون این ساعت به زمان بستگی دارد، معمولاً واحد آن را بر حسب واحد زمان یعنی ساعت، دقیقه و ثانیه در نظر می‌گیرند. هر یک ساعت معادل 15° و هر درجه معادل تقریباً 4° دقیقه‌ی زمانی است. در مورد خورشید، مبنای مقایسه معمولاً ظهر خورشیدی است. مثلاً ساعت یک بعد از ظهر خورشیدی، معادل 15° درجه و ساعت ترتیب ساعت ۱۱ صبح خورشیدی که یک ساعت قبل از ظهر خورشیدی است نیز برابر 15° درجه و ساعت ۱۰ صبح، برابر 30° درجه است. پس برای قبل از ظهر خورشیدی، منفی و برای بعداز ظهر مثبت است و از رابطه (۳) بدست می‌آید.

(رابطه (۳))

$$\omega = (X-12) 15$$

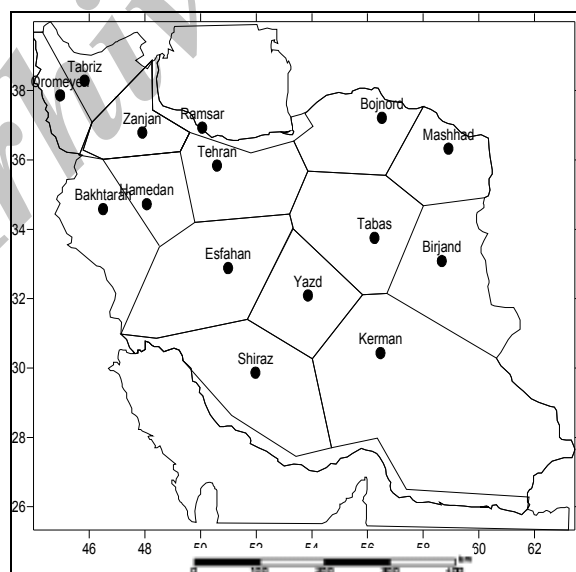
X ساعت مورد نظر و عدد ثابت 12 در واقع ساعت ظهر خورشیدی است. مبنای عدد 15 ، دوران هر 15° درجه زمین در یک ساعت است. بررسی اجمالی در ارتباط با طول و عرض جغرافیایی هر نقطه از ایران و طول روز آن نشان می‌دهد که طولانی ترین روز 14° ساعت 35°

توجه به این موضوع و وجود ۱۶ ایستگاه تابش سنج در کشور و رسم عمود منصف خط رابط بین یک شبکه دو ایستگاهی، گستره ایران به ۱۶ منطقه تقسیم گردید (خلیلی، ۱۳۷۶: ۲۸). با توجه به این که در دوره کواترنری، اقلیم منطقه شمال، تحت تأثیر اقیانوس اطلس و دریای مدیترانه بوده تا دریای خزر (طااحونی، ۱۳۸۳) و همچنین به دلیل وجود دو منطقه آب و هوایی متفاوت در شمال ایران، برای بررسی دقیق‌تر مقدار انرژی دریافتی، در دامنه‌های شمالی البرز از اطلاعات اقلیمی ایستگاه تهران استفاده شده است. البته در برآوردها، اطلاعات اقلیمی ایستگاه رامسر در مناطق ساحلی خزر، عمومیت بیشتری دارد و می‌تواند در بسیاری از بررسی‌های مربوط به دریافت انرژی دامنه‌های شمالی، مورد ارزیابی قرار گیرد (خلیلی، ۱۳۷۶: ۲۸). با توجه به عدم وجود قلل مرتفع، از بررسی مناطق ساحلی خلیج فارس و دریای عمان صرف نظر شده است (شکل ۲).

(بر حسب کالری در دقیقه بر سانتیمتر مربع در روز) بر کسینوس زاویه ارتفاع خورشیدی سالانه ($\cos\theta$) سطح افق تقسیم گردید. از تقسیم عدد حاصله بر تعداد دقایق هر شبانه روز (۱۴۴۰) میانگین سالانه انرژی دریافتی در سانتی متر مربع در دقیقه برای هر ایستگاهی در سطح زمین محاسبه شد.

ب) بررسی میزان انرژی دریافتی از خورشید در ایران

برای بررسی میزان انرژی دریافتی از خورشید، در سرزمین ایران از پهنه بندی خلیلی (۱۳۷۶) طی دوره شاخص (۹۱-۱۹۶۶) استفاده شده است. تغییرات مکانی تابش دریافتی از خورشید در مقایسه با برخی از عوامل هواشناسی نظیر بارندگی چندان زیاد نیست و صرف نظر از شرایط خرد اقلیمی، یک ایستگاه تا فاصله بیشتر از ۱۰۰ کیلومتر، می‌تواند معرف شرایط تابش منطقه محسوب گردد (آرلری و همکاران، ۱۹۷۲). با



شکل (۲) پهنه بندی ایران از نظر برآورد انرژی دریافتی از خورشید

$$W = \frac{542/3}{514708} = 1053/61 \text{ cal/cm}^2/\text{day}$$

$$W = \frac{1053/61}{1440} = 0/732 \text{ cal/cm}^2/\text{Mi}_n$$

میانگین سالانه انرژی دریافتی هر سانتی متر مربع در دقیقه این عرض جغرافیایی، ۷۳۲ کالری است. میزان انرژی دریافتی در هر شب و جهتی در سطوح ارضی شب دار از رابطه (۶) بدست می‌آید:

با توجه به این مباحث، در عرض جغرافیایی ۳۲° (یزد) مقدار میانگین سالانه انرژی دریافتی از خورشید بر تراز افقی سطح زمین $542/3$ کالری بر سانتی متر مربع در روز است (سازمان برنامه بودجه، ۱۳۷۶) و میانگین سالانه زاویه تابش خورشید، $59/02$ (کسینوس $514708/514708$) برآورد گردید. پس با استفاده از رابطه (۵) خواهیم داشت:

$$0/514708 W * 542/3 =$$

$$\text{میانگین سالانه انرژی دریافتی از خورشید} = \frac{\cos\theta}{\cos\theta} \text{ سالانه ملخی تابش و جهات مختلف}$$

کالری برآورد شده از رابطه (۶) می‌توان دما را برآورد نمود. حال می‌توان بین دما و انرژی و یا بین دما و شب رابطه برقرار نمود (جداول ۱ و ۲).

با توجه به این که در ایستگاه مرکزی با وضعیت کالری برآورد شده دمای مشخص شده ای داشته که به ثبت رسیده است با تغییر وضعیت کالری، دما تغییر کرده که به راحتی با داشتن مقدار

جدول (۱) روابط انرژی و دما در ایستگاه‌های انتخابی

نام ایستگاه	رابطه دما با انرژی در هر ایستگاه	ضریب همبستگی	نام ایستگاه	رابطه دما با انرژی در هر ایستگاه	ضریب همبستگی
اهواز	$e^{-1/933+/-0.647T} =$	۰/۹۲۷	شیراز	$e^{-9/317+/-0.5775T} =$	۰/۹۱۵۷
باختران	$e^{10/4584+/-0.623T} =$	۰/۸۹۹	طبس	$e^{-5/7965+/-0.636T} =$	۰/۹۵۴
بیرجند	$e^{-10/142+/-0.58T} =$	۰/۹۰۵	تبریز	$e^{-9/3146+/-0.465T} =$	۰/۹۳
بندرود	$e^{-8/533+/-0.597T} =$	۰/۹۲۳	تهران	$e^{7/59+/-0.613T} =$	۰/۹۲۹
اصفهان	$e^{-10/525+/-0.5946T} =$	۰/۹۲۳	زنjan	$e^{-11/918+/-0.5818T} =$	۰/۹۰۲
همدان	$e^{-12/322+/-0.63T} =$	۰/۹۲۶	یزد	$e^{-7/340.8+/-0.4827T} =$	۰/۹۷۵
کرمان	$e^{11/57+/-0.64T} =$	۰/۹۶۷	ارومیه	$e^{-9/3092+/-0.464T} =$	۰/۹۲۸
مشهد	$e^{7/822+/-0.7T} =$	۰/۹۵۶			

برآورد میانگین شب سطوح ارضی که احتمال تشکیل یخچال‌های کواترنری در آن‌ها وجود دارد، از جدول وضعیت شب ایران که بر اساس ۱۰۹ برگ از اطلس شب تهیه شده بود (عیوضی، ۱۳۷۴، ۱۲) و رابطه (۸) استفاده گردید.

ج) شب متوسط سطوح ارضی و برآورد میزان انرژی و دما

شب متوسط مناطق کوهستانی یکی از موارد دیگری است که در تعیین ارتفاع برف مرز دائمی به روش پیشنهادی مورد نیاز است. برای

(۸) رابطه

$$S = \sum \frac{a * s}{A}$$

S: شب میانگین سطوح مورد نظر، **a**:

درصد مساحت هر قطعه شب نسبت به درصد مساحت کل سطوح مورد نظر، **s**: درصد شب هر قطعه از سطوح و **A**: مجموع درصد مساحت کل سطوح مورد نظر می باشد. برای مثال شب میانگین سطوح پایکوهی، کوهستانی و صخره ای

به صورت زیر محاسبه می شود:

$$\frac{6*40+11*22/5+9*12/5}{26} = 23/3\% = 13\%$$

بنابراین برای ارتفاع برف مرز دائمی از شب 13° در جهات مختلف استفاده شده است. بعد از محاسبه مقدار شب و استفاده از روابط بین دما و مقدار شب با جایگزینی شب مورد نظر به جای **s** در روابط، دمای سطوح مختلف اراضی محاسبه می گردد. برای تبدیل دما به ارتفاع از تقسیم دما بر $4/8$ ، افت محیطی دمای ایران به ازای هر هزار متر افزایش ارتفاع (مسعودیان، ۱۳۸۲: ۹۲) و ضرب عدد حاصله در هزار و جمع این عدد با ارتفاع ایستگاه، ارتفاع دمای صفر درجه یا همان برف مرز محاسبه می شود. اگر دمای پنج درجه (دمای ارتفاع خط تعادل آب ویخ) به ارتفاع تبدیل شود و از ارتفاع برف مرز کسر گردد، ارتفاع خط تعادل آب ویخ بدست می آید. این کار برای ۱۶ جهت اصلی و فرعی در ۱۶ پلیگون ایران انجام شده که روابط برآورد شده در جدول شماره (۲) آمده است.

جدول (۲) روابط دما با شبیب برآورد ارتفاع برف‌مرز در جهات مختلف ایران

شمال شرق - شمال غرب			جنوب شرقی - جنوب غربی			شمال شمال شرق - شمال شمال غرب			جنوب جنوب شرق - جنوب غرب			شمال		
ارتفاع	معادله دما و شبیب	R	ارتفاع	معادله دما و شبیب	R	ارتفاع	معادله دما و شبیب	R	ارتفاع	معادله دما و شبیب	R	ارتفاع	معادله دما و شبیب	R
۴۶۸۴	۲۴/۹۴-۱۱S	۱	۵۶۸۸	۳۳۲۵+۰۸S	/۹۸	۴۳۹۴	۲۵/۱۸-۱۸S	۱	۵۷۸۴	۲۵/۵۶+۰۹S	/۹۶	۴۲۷۶	۵/۳۱-۲۱S	۱
۴۳۸۷	۱۷۷۷-۱۲S	۱	۵۵۰۱	۱۷/۱۵+۰۹S	/۹۸	۴۱۰۸	۱۷/۲۹-۱۶S	.۰/۹۹	۵۵۸۷	۱۷/۱۳+۱S	/۹۷	۳۹۶۸	۱۶/۵۰-۲S	/۹۹
۳۷۴۲	۱۶/۶۱-۱۲S	۱	۴۸۴۰	۱۶/۷۹+۰۹S	/۹۹	۳۴۹۶	۱۶/۶۳-۱۸S	۱	۴۹۳۲	۱۶/۱۰+۱S	/۹۷	۳۳۸۲	۱۶/۷۸-۲S	۱
۳۲۹۰	۱۳/۱۲-۱۱S	/۹۹	۴۳۵۳	۱۳/۵۶+۰۹S	/۹۹	۳۰۴۹	۱۳/۳۶-۱۷S	۱	۴۴۴۳	۱۳/۷۶+۱S	/۹۸	۲۹۶۴	۱۳/۵۲-۲S	۱
۴۳۵۴	۱۷/۰۱-۱۲S	۱	۵۶۱۶	۱۷/۴۴+۰۸S	/۹۸	۴۱۱۲	۱۷/۲۵-۱۸S	۱	۵۵۰۶	۱۷/۶۵+۰۹S	/۹۶	۳۹۹۸	۱۷/۴-۲۱S	۱
۳۴۷۳	۱۰/۸۴-۱۱S	۱	۴۵۳۴	۱۱/۲۷+۰۹S	/۹۹	۳۱۸۶	۱۱/۰۹-۱۸S	۱	۴۶۲۸	۱۱/۴۹+۱S	/۹۷	۳۰۷۱	۱۱/۲۴-۲۱S	۱
۴۴۳۸	۱۰/۷۸-۱۲S	۱	۵۴۷۷	۱۷/۰۱+۰۸S	/۹۸	۴۱۵۲	۱۵/۹۴-۱۹S	۱	۵۵۷۰	۱۷/۲۲+۰۹S	/۹۵	۴۰۸۲	۱۷/۰۷-۲۱S	۱
۳۵۳۹	۱۴/۸-۱۱S	۱	۴۶۰۴	۱۰/۲۵+۰۹S	/۹۹	۳۲۵۶	۱۰/۰۵-۱۸S	۱	۴۶۹۲	۱۰/۴۴+۱S	/۹۷	۳۱۳۷	۱۰/۲-۲۱S	۱
۳۱۲۷	۱۱/۰۲-۱S	/۹۹	۴۰۸۸	۱۱/۲۶+۰۸S	/۹۹	۲۸۸۴	۱۱/۲۷-۱۶S	۱	۴۷۷۴	۱۱/۶۴+۰۹S	/۹۸	۲۷۶۹	۱۱/۴۲-۱۸S	۱
۴۵۸۱	۱۷/۴۱-۱۱S	۱	۵۵۳۸	۱۷/۸۱+۰۷S	/۹۸	۴۲۹۱	۱۷/۶۵-۱۸S	۱	۵۱۲۸	۱۸/۰۱+۰۸S	/۹۵	۴۲۲۱	۱۷/۷۸-۲S	۱
۴۰۷۶	۲۱/۹۹-۱S	/۹۹	۵۰۸۸	۲۲/۴۲+۰۹S	/۹۹	۳۷۸۶	۲۲/۲۳-۱۷S	۱	۵۱۷۸	۲۲/۶۲+۱S	/۹۸	۳۶۷۲	۲۲/۳۸-۲S	۱
۴۶۷۸	۲۱/۸۴-۱۲S	۱	۵۷۹۶	۲۲/۳۱+۰۹S	/۹۸	۴۳۴۶	۲۲/۱۱-۲S	۱	۵۸۹۰	۲۲/۰۳+۱S	/۹۷	۴۲۳۲	۲۲/۲۲-۲۱S	۱
۳۲۸۳	۱۱/۷۹-۱۱S	/۹۹	۴۳۴۸	۱۲/۴۴+۰۹S	/۹۹	۳۰۴۲	۱۲/۰۳-۱۷S	۱	۴۴۳۸	۱۲/۴۴+۱S	/۹۸	۲۹۱۵	۱۲/۱۲-۲S	۱
۴۱۱۶	۱۷/۸۴-۱۲S	۱	۵۲۸۴	۱۷/۳۴+۱S	/۹۹	۳۸۳۰/۲	۱۷/۱-۱۹S	۱	۵۳۷۴	۱۷/۵۲+۱۱S	/۹۷	۳۷۲۰	۱۷/۲۷-۲۲S	۱
۴۶۰۰	۱۸/۷۴-۱۱S	۱	۵۶۰۸	۱۹/۱۵+۰۸S	/۹۸	۴۲۸۰	۱۸/۳۷-۱۶S	.۰/۹۹	۵۷۰۹	۱۹/۱۷+۱S	/۹۸	۴۱۶۰	۱۹/۱-۲۱S	۱
۳۳۴۴	۱۰/۶۳-۱۱S	/۹۹	۴۴۶۱	۱۱/۱+۱S	/۹۹	۳۰۵۶	۱۰/۸۸-۱۸S	۱	۴۰۵۳	۱۱/۳۱+۱۱S	/۹۸	۲۸۹۹	۱۱/۰۷-۲۱S	۱

ادامه جدول (۲) روابط دما با شیب برای برآورد ارتفاع برف‌مرز در جهات مختلف ایران

دما ایستگاه	ارتفاع ایستگاه	طول جغرافیایی	عرض جغرافیایی	ارتفاع بدون شبک	شرقی - غربی			غرب شمال غرب - شرق شمال شرق			غرب جنوب غرب		
					ارتفاع	معادله دما و شبک	R	ارتفاع	معادله دما و شبک	R	ارتفاع	ارتفاع	
۲۵	۲۲/۵	۴۸/۶۹	۳۱/۲۲	۵۲۳۱	۵۳۰۰	۲۴/۸۷+/.۰۲ S	/۹۰	۴۹۹۷	۲۴/۸۱-/.۰۴ S	/۹۶	۵۵۳۷	۲۶	۲۶
۱۷/۴	۱۴۹۱	۵۹/۲۲	۳۲/۸۸	۴۹۰۸	۵۰۸۶	۱۶/۵۶+/.۰۳ S	/۹۹	۴۷۵۵	۱۶/۶-/.۰۴ S	/۹۶	۵۳۴۹	۲۷	۲۷
۱۴/۵	۱۳۲۲	۴۷	۳۴/۳۱	۵۳۴۳	۴۴۱۱	۱۴/۳۶+/.۰۲ S	/۹۰	۴۱۰۷	۱۴/۳-/.۰۴۴ S	/۹۶	۴۶۹۳	۲۸	۲۸
۱۳/۱	۱۰۹۱	۵۷/۳۲	۳۷/۴۷	۳۸۴۱	۳۹۶۸	۱۳/۱۱+/.۰۳ S	/۹۷	۳۶۵۸	۱۲/۰۲-/.۰۳ S	/۹۳	۴۲۰۴	۲۹	۲۹
۱۷/۱	۱۶۰۰/۷	۵۱/۷۷	۳۲/۶۴	۴۹۰۵	۵۰۲۰/۷	۱۵/۹۵+/.۰۲ S	/۹۵	۴۷۱۹	۱۵/۹-/.۰۴ S	/۹۶	۵۲۶۱	۳۰	۳۰
۱۰/۹۸	۱۷۴۹	۴۸/۰۲	۳۴/۸	۴۰۳۶	۴۰۹۶	۱۰/۰۸+/.۰۲ S	/۹۷	۳۷۹۰	۱۰/۷۳-/.۰۴ S	/۹۴	۴۳۸۵	۳۱	۳۱
۱۵/۶	۱۷۵۴	۵۷	۳۰/۲۹	۵۰۰۴	۵۱۳۰	۱۵/۶۱+/.۰۲ S	/۹۵	۴۷۹۹	۱۵/۵۵-/.۰۴ S	/۹۷	۵۳۲۲	۳۲	۳۲
۱۳/۸	۹۹۰	۵۹/۶	۳۷/۲۸	۳۸۶۵	۴۲۱۵	۱۴/۷۸+/.۰۳ S	/۹۷	۳۸۶۰	۱۴/۷۱-/.۰۴ S	/۹۴	۴۴۵۵	۳۳	۳۳
۱۱/۴	۱۳۱۲/۵	۴۵	۳۷/۵۵	۳۳۸۷	۳۷۰۹	۱۱/۰۴+/.۰۲ S	/۹۷	۳۴۴۸	۱۰/۹۵-/.۰۳ S	/۹۳	۳۹۴۱	۳۴	۳۴
۱۷/۵	۱۴۸۸	۵۲/۰۳	۲۹/۶۱	۵۱۳۴	۵۱۹۸	۱۷/۳۴+/.۰۲ S	/۹۰	۴۸۹۶	۱۷/۲۹-/.۰۴ S	/۹۷	۵۴۳۵	۳۵	۳۵
۲۲/۳	۲۰	۵۰/۶۶	۳۶/۹	۴۶۰۵	۴۷۰۵	۲۱/۹۸+/.۰۳ S	/۹۷	۴۳۹۵	۲۱/۸۹-/.۰۳ S	/۹۳	۴۹۴۱	۳۶	۳۶
۲۱/۳	۷۱۱	۵۷/۹۲	۳۳/۰۸	۵۲۰۸	۵۳۴۸	۲۱/۷۹+/.۰۲ S	/۹۵	۴۳۳۳	۲۱/۷۳-/.۰۴ S	/۹۶	۵۶۳۸	۳۷	۳۷
۱۲/۲	۱۳۶۱	۴۶/۴	۳۸/۰۷	۳۹۰۳	۳۹۶۳	۱۱/۷۹+/.۰۳ S	/۹۵	۳۶۵۷	۱۱/۷۱-/.۰۳ S	/۹۲	۴۲۰۱	۳۸	۳۸
۱۷	۱۱۹۰	۵۱/۴۱	۳۵/۷۱	۴۷۳۱	۴۷۹۱	۱۶/۸۲+/.۰۳ S	/۹۷	۴۴۸۱	۱۶/۷۳-/.۰۴ S	/۹۴	۵۰۸۲	۳۹	۳۹
۱۸/۸	۱۲۲۰	۵۶/۳۵	۳۱/۸۸	۵۱۴۷	۵۲۲۱	۱۸/۶۹+/.۰۲ S	/۹۰	۴۹۱۰	۱۸/۶۲-/.۰۴ S	/۹۶	۵۴۰۰	۴۰	۴۰
۱۰/۹	۱۶۶۳	۴۸/۴۷	۳۷/۶۷	۴۹۳۴	۴۰۲۱	۱۰/۰۲+/.۰۳ S	/۹۷	۳۶۶۱	۱۰/۵۲-/.۰۴ S	/۹۳	۴۲۰۹	۴۱	۴۱

(قله بل اقليد) دامنه‌های جنوب غربی (برآفتاب) با شب متوسط $25/19$ درصد و دریافت 570 کالری انرژی در هر سانتیمتر مربع در روز، دمای متوسط $16/52$ درجه و دامنه‌های شمالی شرقی (نسار) با شب متوسط $15/36$ درصد و دریافت 480 کالری انرژی، دمای متوسط $12/14$ درجه سانتی گراد خواهد داشت. با توجه به افت محیطی دمای $4/8$ درجه سانتی گراد به ازای هر هزارمتر برای اینکه به دمای صفر درجه برسیم لازم است از ارتفاع ایستگاه (2030) در دامنه‌های نسار حدود 2754 متر و در دامنه‌های برآفتاب 3441 متر بالاتر رویم. برف مرز کواترنر ایران به طور متوسط 1833 متر پایین تر از امروز بوده است (شرح كامل آن در ادامه خواهد آمد). با توجه به این مطالب برف‌مرز کنونی (H) و برف‌مرز کواترنر (h) ارتفاعات اقليد به این شرح خواهد بود:

$$\begin{aligned} H=5471 & \quad 08*15/36=16/52/29+0/51T= \\ & \quad h=3638 \\ 4559 & \quad H=14/11*25/19=12/91-0/T=14 \\ & \quad h=2726 \\ \underline{\frac{12/14*1000}{4/8}} & = 2529 + 2030 = 4559 \end{aligned}$$

يعنى ارتفاع برف‌مرز کنونی دامنه‌های نسار اين منطقه 4559 متر و در دامنه برآفتاب 5471 متر خواهد بود که بطور حقيقى چنین ارتفاعی در منطقه وجود ندارد. نمونه دیگر، شیرکوه استان یزد برای دامنه‌هایی که به سمت شمال شرق هستند، با استفاده از روش فوق ارتفاع برف‌مرز کنونی 4600 متری خواهد بود و با توجه به اين که گروتر (1978) ارتفاع برف‌مرز شیرکوه را $4600-4700$ برآورد کرده است، اين رقم با رقم برآوردي گروتر بسیار نزدیک است. برای بلندترین ارتفاع هر پلیگون انرژی ایران، بعد از تشخیص جهت مؤثر بر انرژی خورشیدی، ارتفاع

مثالی در این زمینه، رابطه‌ی بین متوسط دمای ماهانه بر حسب درجه سانتی گراد را با متوسط انرژی دریافتی روزانه هر ماه بر حسب کالری در سانتیمتر مربع در ایستگاه آباده (نزدیک ترین ایستگاه به اقليد) به شکل رابطه (۹) است.

$$T=-11/74763+0/4956*E$$

رابطه (۹)

با داشتن مقدار انرژی دریافتی و اعمال این رابطه در انرژی برآورد شده‌ی شباهی مختلف، انرژی را به دما تبدیل کرده و رابطه شب بـا انرژی و رابطه‌ی شب با دما در دامنه‌های برآفتاب با همبستگی $0/98$ به شکل روابط (۱۰) و (۱۱) و در دامنه‌های نسار با میزان همبستگی (۱-) برای اقليد به شکل روابط (۱۲) و (۱۳) می‌شود.

$$E=545/64+1/6S$$

رابطه

$$(10)$$

$$T=15/29+0/8S$$

رابطه

$$(11)$$

$$E=537/81-2/3 S$$

رابطه

$$(12)$$

$$T=14/91-0/11S$$

رابطه

$$(13)$$

مقدار دما بر حسب درجه سانتی گراد، E مقدار انرژی دریافتی بر حسب کالری بر سانتیمتر مربع در دقیقه و S مقدار شب بـر حسب درصد است. از روابط فوق برمی‌آيد که هر چه شب در دامنه‌ی برآفتاب بیش تر باشد، مقدار انرژی و در نتیجه میزان دما افزایش می‌یابد و در دامنه‌های نسار، عکس این حالت رخداده و میزان انرژی و دما با افزایش شب کاهش می‌یابد. در بلندترین قله‌ی نزدیک ایستگاه آباده

دماه ماهانه بقیه‌ی ماه‌های کشور {ژوئیه (با دمای ۲۹/۶ درجه سانتی‌گراد)، اوت (با دمای ۲۸/۴ درجه سانتی‌گراد)، سپتامبر (با دمای ۲۴/۵ درجه سانتی‌گراد) و اکتبر (با دمای ۱۸/۸ درجه سانتی‌گراد)} مقایسه کرده و متوجه شدیم که متوسط دماه‌های گرم سال ۲۴/۲ درجه سانتی‌گراد و در تمام آن‌ها دمایی بالاتر از ۱۷ درجه را داشتند، در صورتی که متوسط دماه‌های سرد سال ۹/۲ درجه سانتی‌گراد بود. این مقایسه به دلیل تعمیم شرایط اقلیمی زمستان کنونی به دوران یخچالی ایران انجام شده است. با توجه به دمای متوسط سالانه ۱۸ درجه سانتی‌گراد امروز، کاهش متوسط دمای ۸/۸ عصر یخچالی درجه سانتی‌گراد را به تمام ایران تعمیم دادیم. حال اگر دمای حاصله را در رابطه (۱۳) بگذاریم خواهیم داشت:

$$T=14/91-11*15/36=13/2 \quad 13/2-8/8=4/4 \\ \frac{4/4+1000}{4/8}=917 \\ 917+2030=2947$$

یعنی ارتفاع دمای ۸/۸ درجه سانتی‌گراد کنونی با دمای صفر عصر یخچالی مطابقت دارد و برف‌مرز در دامنه‌های شمال شرقی کوه بل اقلید با شیب ۱۵/۳۶ درصد در ارتفاع ۲۹۴۷ متری قرار می‌گیرد که این رقم به محاسبات قبلی ۲۹۵۰ متر (کاظمی، ۱۳۸۴: ۱۵۶) بسیار نزدیک است.

برف‌مرز دائمی کنونی و کواترنر و ارتفاع خط تعادل آب ویخ به صورت بالا تعیین شده است (جدول ۳).
(ج)جهت و ارتفاع برف‌مرز دائمی کواترنری
بعد از محاسبه ارتفاع برف‌مرز کنونی، برای تشخیص ارتفاع برف‌مرز کواترنری، لازم است اول کاهش مقدار دمای دوره کواترنری ایران را بدانیم. مطالعات قبلی از قبلی: شوشتري (۱۳۸۲) ۱۴/۲۵ درجه سانتی‌گراد برای سلفچگان، رامشت (۱۳۸۱) ۹ درجه برای زفره اصفهان، نعمت‌الهی (۱۳۸۲) ۱۰ درجه برای دشت نمدان اقلید، پوردهقان (۱۳۸۳) ۱۰/۵ درجه برای دهکری بم، شاهزادی (۱۳۸۴) ۶ درجه برای کوههای چوبار کرمان و معصومی (۱۳۸۴) ۹ درجه برای نسران نظر، اعدادی. ارقام دمایی مذکور بین ۶ تا ۱۴ درجه کاهش دمای کواترنری را نسبت به امروز را نسبت داده‌اند و بین این ارقام تفاوت بسیار زیادی دیده می‌شود، برای مثال در فاصله بسیار کم دهکری بم و کرمان ۴/۵ درجه سانتی‌گراد ارقام ارائه شده با هم اختلاف دارند.

در این مقاله برای پرهیز از مشکل فوق محاسبه‌ی کاهش مقدار دمای دوره کواترنری، متوسط دمای ماهانه‌ی پنج ماه از سال، یعنی ماه‌های ژانویه (با دمای ۵/۷ درجه سانتی‌گراد) فوریه (با دمای ۷/۵ درجه سانتی‌گراد) مارس (با دمای ۱۱/۹ درجه سانتی‌گراد) نوامبر (با دمای ۱۳/۱ درجه سانتی‌گراد) با متوسط

جدول (۳) ارتفاع برف‌مرز و خط تعادل آب ویخ بلندترین قله‌های ایران

نام کوه	خط برف‌مرز	شیب مؤثر بر ارتفاع	ارتفاع برف‌مرز نسار	ارتفاع برف‌مرز برآفتاب	ارتفاع برف‌مرز کواترنری	ارتفاع برف‌مرز برآفتاب کواترنر	ارتفاع برف‌مرز	ارتفاع خط تعادل آب ویخ	اعتدال آب ویخ کواترنر نسار	ارتفاع خط
شیرکوه	NE-NW	۴۶۰۰	۵۶۰۸	۲۷۶۶	۳۷۷۵	۱۷۲۴	۴۶۰۰	۳۷۷۵	۱۷۲۴	۱۷۲۴
زردکوه	NE-NW	۴۳۵۳	۵۴۱۴	۲۵۲۰	۳۵۸۱	۱۴۸۷	۴۳۵۳	۳۵۸۱	۱۴۸۷	۱۴۸۷
شاهانکوه	NE-NW	۴۳۵۳	۵۴۱۴	۲۵۲۰	۳۵۸۱	۱۴۸۷	۴۳۵۳	۳۵۸۱	۱۴۸۷	۱۴۸۷

۱۸۲۲	۳۸۵۵	۲۸۵۱	۵۶۶۵	۴۶۶۲	NE-NW	کوه منار
۱۷۲۴	۳۷۷۵	۲۷۶۶	۵۶۰۸	۴۶۰۰	NE-NW	دنا
۸۶۶	۳۰۰۷	۱۹۰۸/۲۵	۴۸۴۰	۳۷۴۲	NE-NW	کبیرکوه
۱۷۲۴	۳۷۷۵	۲۷۶۶	۵۶۰۸	۴۶۰۰	NE-NW	بل اقیلید
۱۴۸۷	۳۵۸۱	۲۵۲۰	۵۴۱۴	۴۳۵۳	NE-NW	اشترانکوه
۱۲۹۲	۳۶۶۷/۵	۲۴۱۳/۶	۵۵۰۱	۴۳۸۸	NE-NW	سیاه کوه
۹۱۵	۲۵۵۰	۱۹۵۷	۴۳۸۵	۳۷۹۰	NE-NW	الوند
۹۵۸	۲۶۲۲	۲۰۱۷	۴۶۰۴	۳۸۶۰	NE-NW	بینالود
۱۲۰۰	۲۲۵۴	۲۲۴۲	۵۰۸۸	۴۰۷۶	NE-NW	سلیمان
۱۲۰۰	۲۲۵۴	۲۲۴۲	۵۰۸۸	۴۰۷۶	NE-NW	گاوکشان
۱۲۴۰	۳۴۵۰	۲۲۸۲	۵۲۸۴	۴۱۱۶	NE-NW	پلنگ آبی
۴۶۸	۲۶۲۸	۱۵۱۰/۳	۴۴۶۱	۳۳۴۴	NE-NW	بلقیس
۱۴۸۷	۳۵۸۰	۲۵۲۰	۵۴۱۴	۴۳۵۳	NE-NW	کرکس
۶۲۲	۳۰۹۹	۱۶۶۳	۴۹۳۳	۳۴۹۶	NNE-NNW	پرو
۱۴۸۷	۳۵۸۰	۲۵۲۰	۵۴۱۴	۴۳۵۳	NE-NW	ولیجا
۸۲۶	۲۳۷۷	۱۸۵۲	۴۲۰۴	۳۶۵۸	NE-NW	شاه جهان
۱۵۱۹	۳۱۰۷	۲۵۶۱	۴۹۴۱	۴۳۹۵	WNW-ENE	دماوند
۱۰۵۵	۳۵۴۰/۶	۱۹۹۷	۴۲۰۱	۳۶۵۵	WNW-ENE	سبلان
۱۰۵۵	۳۵۴۰/۶	۱۸۹۷	۴۲۰۱	۳۶۵۵	ENE-WNW	سهند
۱۹۱۷	۳۴۸۹	۲۹۶۱	۵۳۲۲	۴۷۹۹	WNW-ENE	هزار
۱۹۱۷	۳۴۸۹	۲۹۷۱	۵۳۲۲	۴۷۹۹	ENE-WNW	تفتان
۱۲۳۲	۲۸۶۰	۲۲۷۴	۴۶۹۳	۴۱۰۷	ENE-WNW	شاهوار
۸۳۴	۱۸۷۶	۱۸۷۶	۳۷۱۰	۳۷۱۰	E-W	قندیل
۱۸۲۹	۲۸۷۱	۲۸۷۱	۴۷۰۴	۴۷۰۶	E-W	بغروم داغ

مطالعات رامشت و پوردهقان (۱۳۸۵، ۱۴۰) ارتفاع برف مرزهای پوردهقان (۱۴۰) متر ذکر شده است، در این صورت باید پژوهیم که شیب زمین در دامنه‌های نسار ^{۱۲/۴} است که واقعی به نظرمی‌رسد. چرا که با توجه به نقشه‌های توپوگرافی منطقه، چنین شیبی در سطوح کوهستانی وجود دارد و یا باید دمای کواترنری نسبت به دمای کنونی ^{۱۰/۳۶} درجه سانتی‌گراد کاهش داشته باشد. این عدد بسیار نزدیک به عددی است که پوردهقان (۱۳۸۵) در مطالعات خود به آن اشاره داشته است کاهش ^{۱۰/۵} درجه سانتی‌گراد دمای کواترنری نسبت به امروز، نه ^{۸/۸} درجه سانتی‌گراد. البته برآورد

برای نتیجه گیری بین ارتفاع برف مرزهای برآورد شده به روش رایت با مدل ارائه شده در مناطق مختلف مقایسه ای شده است. در دامنه‌های نسار کرمان (جهت سطوح ارضی شمال شرق) با شیب ^{۱۳}، باید دمای ^{۱۴/۶} درجه سانتی‌گراد داشته باشد که پس از کسر دمای ^{۸/۸} درجه سانتی‌گراد نسبت به گذشته، دمای ^{۵/۸} درجه سانتی‌گراد باقی می‌ماند. برای صفر درجه شدن دما لازم است، ارتفاع ^{۱۲۲۲} متر، نسبت به ارتفاع ایستگاه، افزایش یابد که با توجه به ارتفاع ایستگاه (^{۱۷۵۴} متر)، ارتفاع برف مرز کواترنری ^{۲۹۶۶} متر برآورد گردد. در صورتی که در

۲۷۲۷ و ۳۴۶۲ متری قرار می‌گیرد. ارتفاع برف‌مرز در جهت شمال شرقی (۲۷۲۷ متر) با ارتفاع برف‌مرز برآورده شده به روش رایت ۲۷۰۰ متر (رامشت، ۱۳۸۱؛ ۵۹) در حدود ۲۷ متر تفاوت دارد.

ارتفاع برف‌مرز و خط تعادل آب‌ویخ کواترنری شیرکوه یزد به ترتیب ۲۷۶۷ متر و ۱۶۳۹ متر برآورده، طبق مطالعات رامشت (۱۳۸۱) ارتفاع خط تعادل آب‌ویخ دامنه‌های شمال شرقی شیرکوه (طزرجان-مهریز) ۱۶۰۰ متر و ارتفاع برف‌مرز دائمی ۲۷۰۰ متر بدلست آمده است.

مطالعات نعمت‌الهی (۱۳۸۲) در دشت نمدان حاکی از وجود برف‌مرز دائمی در ارتفاع ۲۷۶۰ متری می‌باشد. این دشت توسط دو رشته کوه به موازات هم در امتداد شمالی غربی و جنوب شرقی محاط شده و سیرک‌های یخچالی در شیب حدود ۲۳/۷ درصد مستقر شده‌اند. ارتفاع خط تعادل آب‌ویخ منطقه نیز در این مدل با فرض ۵ درجه سانتی‌گراد، ۱۷۱۸ متر محاسبه می‌شود. در صورتی که کاظمی (۱۳۸۴) ارتفاع برف‌مرز را در دامنه کوه‌اقلید ۲۹۰ متر برآورده کرده که با شیب ۱۵/۳۶ درصد انطباق داشته که شیب متوسط دامنه کوه‌اقلید نیز به همین شکل بوده و در مدل ارائه شده ارتفاع ۲۹۴۷ متر برآورده گردیده است. در اشتراک کوه، اگر تفاوت دمای کنونی با دوره‌های یخچالی ۸/۸ درجه سانتی‌گراد باشد، در روش رایت برف‌مرز در ارتفاع ۲۸۰۰ متری و خط تعادل آب‌ویخ در ارتفاع ۱۳۸۰ متری برآورده شده است و با استفاده از مدل ارائه شده، به ترتیب ۲۵۲۰ و ۱۴۸۷ متر محاسبه می‌گردد. در منطقه سلفچگان، شوشتاری زاده (۱۳۸۲؛ ۱۱۵) ارتفاع برف‌مرز را بر اساس مدل رایت ۲۱۰۰ متر محاسبه کرده که در این مدل ارتفاع

برف‌مرز و خط تعادل آب‌ویخ در صورتی است که با توجه به ارتفاع برف‌مرز کنونی جهت شمال غربی-جنوب شرقی بر ارتفاعات کرمان عمومیت داشته باشد. اگر شیب زمین جهت غرب شمال غرب-شرق° جنوب شرق در نظر گرفته شود، آنگاه برف‌مرز در ارتفاع ۲۶۰۵ متر و خط تعادل آب‌ویخ در ارتفاع ۱۳۵۱ متر قرار خواهد گرفت. لازمه پذیرش چنین جهتی، استقرار برف‌مرز کنونی در ارتفاع ۴۱۵۲ متری است که غیر واقعی است. خط تعادل آب‌ویخ در این منطقه با محاسبات به عمل آمده در ارتفاع ۱۸۰۹ متری قرار می‌گیرد در صورتی که مطالعات قبلی این ارتفاع ۱۷۰۰ متر ذکر شده است.

ارتفاع برف‌مرز در منطقه ده بکری بم، در عرض ۲۹ درجه شمالی، ۲۶۴۰ (پوردهقان، ۱۳۸۵، ۱۱۸) و منطقه سیرچ کرمان ۳۰۰۰ متر (شاہزیدی، ۱۳۸۵، ۱۱۵) برآورده گردیده است. بر اساس مطالعات شاہزیدی اختلاف دمای متوسط سالانه در منطقه ۶ درجه سانتی‌گراد می‌باشد و پوردهقان کاهش دمای کواترنری نسبت به دمای کنونی را ۱۰/۳۶ درجه سانتی‌گراد برآورده است که چنین تغییر زیادی را نمی‌توان در فاصله کم این دو منطقه کوهستانی پذیرفت.

با توجه به نقشه توپوگرافی زفره شیب در قسمت‌های مختلف کوه مارشنان و کوه لایچه تقریباً متقارن و بین ۱۳٪ تا ۲۰٪ متغیر است. بطور متوسط، شیب ۱۵٪ را برای بررسی در این مقاطعه انتخاب کرده‌ایم. از آن جایی که با توجه به نقشه توپوگرافی، این منطقه دارای سیرک‌های یخچالی در جهات شمال، جنوب، غرب و شرق، شمال شرق و جنوب غرب هست، محاسبات به عمل آمده ارتفاع برف‌مرز دائمی در جهات مختلف به ترتیب ۳۱۵۲-۲۵۲۷-۳۵۳۵-

گردد. برای برآورد ارتفاع برف مرز کواترنر ابتدا عدد $۸/۸$ را از دمای حاصله از روابط جدول شماره (۲) کم نموده و بعد بقیه اعمال را انجام می‌دهیم. برای برآورد ارتفاع خط تعادل آب و یخ به ارتفاع حاصله برای برف مرز کنونی یا کواترنر حدود ۱۰۴۲ را اضافه می‌نماییم (تغییر درجه شیب در پای کوه نسبت به کوهستان عدد ۱۰۴۲ را تغییر می‌دهد).

از بررسی به عمل آمده چنین بر می‌آید که در دامنه نسار هر درصد افزایش یا کاهش شیب می‌تواند، حدود ۲۳ متر ارتفاع برف‌مرز را پایین یا بالا ببرد و در دامنه برآفتاب هر درصد کاهش یا افزایش شیب ۱۶/۷۵ متر ارتفاع برف‌مرز را کاهش و یا افزایش می‌دهد. همچنین یک سطح ارضی با شیب ۱۳ $^{\circ}$ یا ۲۳/۳ درصد به طرف جنوب غرب، در ارتفاع مساوی، می‌تواند ۵ تا ۶ درجه دمای بیشتری را داشته باشد، تا سطح ارضی که شیبی به شمال شرقی داشته باشد و در نتیجه در میزان تبخیر آب، ذوب برف و از دست دادن رطوبت خاک مؤثر واقع شود. همین عامل منجر به افزایش ارتفاع کمربندی‌های گیاهی و دمایی و فرایندهای مناطق سرد به ارتفاعات بالاتر در دامنه‌های جنوب غربی نسبت به شمال شرقی شود.

تفاوت کمی که ارقام برآورده شده این مقاله با بعضی از مطالعات قبلی دارد می‌تواند ناشی از عوامل مختلفی باشد از جمله:

۱- برآورد ارتفاع برف‌مرز به روش رایت مستلزم دقت زیاد در زمان تشخیص مکان کف سیرک در نقشه‌های توپوگرافی است و ارتفاع سیرک با کمی‌جایه جایی علامت سیرک در نقشه‌های توپوگرافی، می‌تواند تغییر زیادی در تعیین ارتفاع سیرک ایجاد کند.

۲۲۸۲ متر برآورد گردیده است. البته باید مذکور شد در صورتی که ارتفاع مدل رایت صحیح باشد لازم است که شیب دامنه‌های کوهستانی در حدود ۳۰/۶ درصد باشد که دور از واقعیت است.

نتیجه گیری

همانطوری که گفته شد روش‌های متعددی برای مشخص کردن ارتفاع برف‌مرز ارائه شده است که اکثر آن‌ها به وسیله محققین خارجی و بر اساس پارادایم‌های خارج از ایران ارائه شده است. تلاش این مقاله در جهت برآورد ارتفاع برف‌مرز، خط تعادل آب و یخ و ارتفاع هر دمای دیگر باشد، چه در عصر هلوسون و چه در عصر پلیئستوسن، به کمک پارادایم‌های داخلی را برآورد نمود. با داشتن روابط جدول شماره ۲ به راحتی می‌توان هر دمایی را برای سطوح ارضی با شیب‌های مختلف، در جهت مورد نظر برآورد نمود. البته با توجه به اثر گذاری مقدار شیب و جهت آن و عرض جغرافیایی و طول جغرافیایی (برای مشخص کردن اینکه مشخص کرد منطقه مورد مطالعه در کدام پلیگون انرژی قرار می‌گیرد) در مجموع ۱۴۴ رابطه ارائه شده است (برای ۱۶ پلیگون در ۹ جهت متفاوت) که با جا گذاری مقدار شیب به جای S در سمت راست رابطه، می‌توان دمای سطوح مورد نظر را برآورد نمود. با توجه به اینکه افت متوسط محیطی دما را ۴/۸ درجه سانتی‌گراد به ازای افزایش هر هزار متر ارتفاع در نظر گرفته شد (البته می‌توان این مقدار را نیز در مکان‌های مختلف با توجه به شرایط محلی آنچه دقیق‌تر برآورد نمود) برای اینکه به دمای صفر درجه در آن محیط برسیم لازم است به ارتفاع متوسط سطح مورد نظر، عددی معادل عدد حاصله از تقسیم عدد دمای برآورده شده به ۴/۸ ضربدر ۱۰۰۰ اضافه

- رامشت، محمد حسین و شوشتاری، نجمه، ۱۳۸۳، آثار یخساری و یخچالی در سلفچگان قم، فصلنامه تحقیقات جغرافیایی، شماره ۷۳، ۱۳۸۳، صص ۱۱۹-۱۲۲.
- رامشت، محمد حسین و کاظمی، محمد مهدی، ۱۳۸۶، آثار یخچالی در حوضه اقلید فارس، رشد آموزش جغرافیا، شماره ۷۹، ۱۳۸۶، صص ۱۱-۳.
- رامشت، محمدحسین، ۱۳۸۵، نقشه‌های ژئومورفولوژی (نمادها و مجازها)، انتشارات سمت.
- رامشت، محمد حسین، ۱۳۸۱، آثار یخچالی در زفره اصفهان، طرح پژوهشی شماره ۸۰۰۳۰۵ مصوب ۱۳۸۱/۳/۲۷ شورای پژوهشی دانشگاه اصفهان.
- رضایی، پرویز، ۱۳۸۰، محاسبه زمان طلوع و غروب خورشید و برآورد زمان تابش در ایران، فضای جغرافیایی، سال اول، شماره ۴، صص ۶۷-۸۶. زمستان ۱۳۸۰.
- زمردیان، محمدجعفر، ۱۳۸۱، ژئومورفولوژی ایران اقلیمی و دینامیک بیرونی، جلد دوم، انتشارات دانشگاه فردوسی مشهد.
- سازمان برنامه و بودجه، دفتر امور فنی و تدوین معیارها، ۱۳۷۶، معیارهای اقلیمی در ساختمان، انرژی خورشید در گستره ایران، مرکز مدارک اقتصادی-اجتماعی و انتشارات.
- شاهزادی، سمیه السادات، ۱۳۸۵، نقش ایزوفستازی حرارتی و برودتی در شکل گیری مخروطه افکنه رو دخانه درختنگان، دانشگاه آزاد اسلامی نجف آباد.
- ۲- این مطالعه چون به صورت ملی انجام می شود و شب متوسط ($23/3$ درصد) و کاهش دمای متوسط کواترنری ($8/8$ درجه سانتی گراد) کلی در نظر گرفته شده است، که می تواند در محیط بسیار متغیرتر از پیش فرض مقاله باشد و در اکثر موارد کاهش دمای بیشتری فرض شده است.
- ### منابع
- آزاد، عزت‌الله و همکاران، ۱۳۶۶، مبانی انرژی خورشیدی، انتشارات دانشگاه تهران.
- پدرامی، منوچهر، ۱۳۷۶، سن مطلق کواترنر، مجله دانشکده علوم، جلد ۱۷ شماره ۳ و ۴.
- پوردهقان، داوود، ۱۳۸۵، ردیابی آثار ژئومورفیک تحولات اقلیمی کواترنر در دهکری بم، پایان نامه کارشناسی ارشد، دانشگاه آزاد اسلامی واحد نجف آباد.
- جعفری، غلام‌حسن، ۱۳۸۸، تأثیر جهت ناهمواری ها در ارتفاع خط تعادل آب و یخ کواترنری ایران، رساله دکتری دانشگاه اصفهان.
- جداری عیوضی، جمشید، ۱۳۷۴، ژئومورفولوژی ایران، انتشارات دانشگاه پیام نور، چاپ دوم، ص ۵-۳۸-۷۶-۷۷.
- خلیلی، علی‌اکبر و رضایی صدر، حسن، ۱۳۷۶، برآورد تابش کلی خورشید در گستره ایران بر مبنای داده‌های اقلیمی، فصلنامه تحقیقات جغرافیایی، شماره ۱۵-۳۵، ۴۶.
- رامشت، محمد حسین و پوردهقان، داوود، ۱۳۸۷، یخ در آتش: آثار یخچالی در منطقه بم، فصلنامه تحقیقات جغرافیایی، شماره ۸۹، ۱۳۸۷، صص ۱۳۰-۱۴۶.

- عدم شکل گیری مدنیت و سکونتگاه دائم شهری در دشت آسپاس، مطالعات و پژوهش های شهری و منطقه ای- سال سوم، شماره ۱۰، پاییز ۱۳۹۰، صص ۸۰-۶۱.
- نگارش، حسین و خسروی، محمود، ۱۳۷۷، کلیات رئومورفولوژی ایران، انتشارات دانشگاه سیستان و بلوچستان.
- نفیسی، کاظم و کیاست پور، احمد، ۱۳۸۳، تعیین جهت قبله با استفاده از خورشید، دانشکده الهیات و معارف اسلامی دانشگاه مشهد، شماره ۶۴، صص ۱۹۱-۲۰۳، تابستان ۱۳۸۳.
- نعمت الهی، فاطمه، ۱۳۸۲، آثار یخچالی حوضه آبی نمدان فارس، پایان نامه کارشناسی ارشد، دانشگاه آزاد اسلامی واحد نجف آباد، گروه جغرافیا.
- مسعودیان، سید ابوالفضل، ۱۳۸۲، تحلیل ساختار دمای ماهانه ایران، مجله پژوهشی دانشگاه اصفهان، علوم انسانی، جلد ۱۵، شماره ۱۵ و ۲، صص ۹۶-۸۷.
- واتسون، دانلد؛ لب، کنت، ۱۳۷۲، طراحی اقلیمی، اصول نظری و اجرایی کاربرد انرژی در ساختمان، ترجمه قبادیان، وحید و فیض مهدوی، محمد، انتشارات دانشگاه تهران.
- یمانی، مجتبی، ۱۳۸۶، رئومورفولوژی یخچال های زردکوه (بررسی اشکال رئومورفولوژیک و حدود گسترش آنها) پژوهش های جغرافیایی- شماره ۵۹، بهار ۱۳۸۶، صص ۱۳۹-۱۲۵.
- یمانی، مجتبی، جداری عیوضی، جمشید و گواری، ابوالقاسم، ۱۳۸۶، شواهد رئومورفولوژیکی مرزهای یخچال در دامنه های کرکس، فصلنامه مدرس علوم انسانی برنامه ریزی و آمایش فضا،
- شوشتري زاده، نجمه، ۱۳۸۲، یخسارهای ایران مرکزی منطقه سلفچگان، پایان نامه کارشناسی ارشد، دانشگاه آزاد اسلامی نجف آباد.
- عسکری، احمد و سمیعی، محمود، نگرشی بر دقت روابط متداول در محاسبه زاویه میل خورشیدی، مجله نیوار، شماره های ۵۸ و ۵۹، صص ۲۱-۴۲، پاییز و زمستان ۱۳۸۴.
- علانی طالقانی، محمود، ۱۳۸۲، رئومورفولوژی ایران، تهران، نشر قومس.
- طاحونی، پوران، شواهد رئومورفیک فرسایش یخچالی پلیستوسن در ارتفاعات طالش، پژوهش های جغرافیایی، شماره ۴۷، صص ۵۵-۳۱، بهار ۱۳۸۳.
- طالبی، حمید رضا، ۱۳۸۱، بررسی آثار یخچالی در زفره اصفهان، پایان نامه دوره کارشناسی ارشد، دانشگاه آزاد اسلامی نجف آباد، دانشکده تحصیلات تكمیلی.
- کاظمی، محمد مهدی، ۱۳۸۴، بررسی رئومورفولوژیکی آثار یخچالی اقلید فارس، پایان نامه کارشناسی ارشد، دانشگاه آزاد اسلامی واحد نجف آباد، گروه جغرافیا.
- محمودی فرج ا...، ۱۳۶۷، تحول ناهمواری های ایران در کوارترنر، مجـلـه پژوهشـهـای جـغـرافـیـائـی دانشگاه تهران، شماره ۲۳ صص ۵-۴۳.
- معصومی، فاطمه، ۱۳۸۴، هیدرولوژی رئومورفولوژی حوضه آبی منطقه نسران، پایان نامه کارشناسی ارشد، دانشگاه آزاد اسلامی واحد نجف آباد، گروه جغرافیا.
- میر احمدی، ابوالقاسم، مقصودی، اکبر و احمدی، طیبه، بررسی آثار یخچالی کواترنر و تأثیر آن بر

- study of rock glaciers, Arctic and Alpine research, 20(2), 160- 178.
- Homlum, O., 1986, mapping of glaciations levels; comments on the effect of sampling area size. Arctic and Alpine research, 18(4): 407-414.
- King, C.A.M., 1970, Techniques in geomorphology, Londan.
- Retter, D.F., 1993, kochel, R.C, Millir, J. Process geomorphology, WM.C. Brown publishers.
- Moayeri, M., Ramesht, M. H., Saif, A., Yamani M. & Jafari, Gh. H., The impact of mountainous skirts direction of Iran on differences in altitude of wither and ice equilibrium line of quaternary, geography and environmental planning journal, year 21- vol 40- no 4, winter 2011. Pp 1-12.
- Schweizer, G., 1970, the kuhe sabalan (northe west Iran) contributions to the glacier and glazial geomorphology of high mountains, in: H Schroder (eds). Beitrage zur geograpliede de tropen and subtropen Tubiger geographische studien, PP: 163- 178.
- Write, H.E., N.Y. 1963, Preliminary Pollen Studies at Lacke Zeribar, Zagros Mountains, and Southwest Iran.
- فروردين ۱۳۸۶، سال يازدهم، شماره ۷۰، صص ۲۰۷-۲۲۸
- يماني، مجتبى، شمسى پور، علی اکبر و جعفری، مریم ۱۳۹۰، بازسازی برف مرزهای پلیوستوسن در حوضه‌ی جاجرود، پژوهش‌های جغرافیای طبیعی، شماره ۷۶، تابستان ۱۳۹۰ صص ۳۵-۵۰
- Bobek, H., 1963, Nature and implications of Quaternary climatic change in Iran, symposium of change of climate, room, UNWSCO-WMO.
- Joe Michal sky, J. J. American Society for Testing Methods (ASTM) Standards (E-891) and (E-892), 1988.
- Hawkins, F., 1985, Equilibrium- Line altitude and paleo- environment in the merchants Bay area, Baffin Island, N.W.T, Canada, journal of glaciology, 3:205- 213.
http://www.architecture.uwaterloo.ca/faculty_projects/terri/carbon-aia/strategies1a.html
- Humlom, O., 1988, Rock glacier appearance level and rock glacier inrtation line altitude; A Methodological approach to the

Estimation method of the height of permanent snow line over Iran and comparison with Wright's method

Gh. Jafari

Received: February 7, 2012 / Accepted: August 12, 2012, 27-30 P

Extended Abstract

1- Introduction

There are a lot of methods in order to estimate the height of permanent snow lines. The first group is mentioned as the half of the height, which is the mediocre of current permanent snow line (kerovosky according to Homelom, 1998). The second group of glaciology experts has proposed a height for quaternary snow line, which seems to be suited with the incipient signs of watchable glacial trends in large scale not permanent snow line. But they might have perused the signs of glacial trends in those heights. The third group was those who have paid attention to valleys, glaciers or the moraines in different scales.

It is proposed two theories about the Determination of permanent snow lines or glacial region. Some researchers such as Lewis and Schweitzer declare that the snow line is in the beneath boundary of glacial

class. However some like Homelom believes that the lowest boundary of glacial climate is the glacial equilibrium line. While King and Ritter & et al. believed that the snow line was completely different from the equilibrium glacial line and it cannot be considered equivalent, because each one of them is at a different heights.

2-Method

It is tried to announce a relation with the use of effective variables on the height of the permanent snow line such as latitude, temperature, amount and direction of land surface slope in the radiation gauge stations, to evaluate the height of permanent snow line. As a matter of fact the amount of solar energy doesn't have many changes in flat areas. So it is used 16 stations in whole of Iran. Because of the Importance of direction and slope as the most important effective parameters & its changes in the solar elevation angle and the energy of the sun, it is tried to use relations which we can evaluate the temperature change due to solar elevation angle and its tilt in different directions. Consequently, it can have a relationship between different

Author(s)

M. Sharifi(✉)

Assistant Professor of Geomorphology, University of Zanjan, Zanjan, Iran
E-mail: jafarihas@yahoo.com

directions & resultant temperatures with the use of temperature situation & solar elevation angle in stations & changes of solar elevation angle in steep surfaces, what are more these relations can be used to estimate permanent snow line or ice and the water equilibrium line.

3-Results

It was resulted that each boost or decrease in slope situation, boosts or decreases the height of snow line of about 23 meters in leeward & also each percentage increase or decrease in address, increases or decreases 16.75 meters of the height of snow line. Consequently there is an A-south west land surface with a slope of 13° or 23.3%, which could have more temperature of 5 to 6 degrees in contrast with an A-northeast land surface in equal height, & as a conclusion it could be, effective in water evaporation, snow melting and soil moisture loss. This factor leads to an increase in plant height and temperature belts. And also the processes of cold areas extend to higher elevations in southwest in contrast with the A-northeast land surface.

There is a bit difference between the figures estimated in this paper with some previous studies, which is due to several factors including:

1-The estimation of height of snow line in Wright's method is involved a loads of paying attention in the time of circus floor in topographic maps. What is more, a few handling marks on topographic maps, causes a large change in elevation determined.

2-This study has been done nationally. The average slope is (23.3%) and the decrease of mean temperature of Quaternary is (8/8 ° C) which considered generally, & could have a great various in the environment and

cause to reduce the temperature of the article & as a result its decrease is more than what assumed in most cases. **Keywords:** Wright's method, Circus, the permanent snow line, latitude, Mountain glacier.

References

- Bobek, H., 1963, Nature and implications of Quaternary climatic change in Iran, symposium of change of climate, room, UNWSCO-WMO.
- Joe Michal sky, J. J. American Society for Testing Methods (ASTM) Standards (E-891) and (E-892), 1988.
- Hawkins, F., 1985, Equilibrium- Line altitude and paleo- environment in the merchants Bay area, Baffin Island, N.W.T, Canada, journal of glaciology, 3:205- 213.
- http://www.architecture.uwaterloo.ca/faculty_projects/terri/carbon-aia/strategies1a.html
- Humlom, O., 1988, Rock glacier appearance level and rock glacier intartion line altitude; A Methodological approach to the study of rock glaciers, Arctic and Alpine research, 20(2), 160- 178.
- Homlum, O., 1986, mapping of glaciations levels; comments on the effect of sampling area size. Arctic and Alpine research, 18(4): 407- 414.
- King, C.A.M., 1970, Techniques in geomorphology, Londan.

- Retter, D.F., 1993, kochel, R.C, Millir, J.
Process geomorphology, WM.C.
Brown publishers.
- Moayeri, M., Ramesht, M. H., Saif, A.,
Yamani M. & Jafari, Gh. H., The
impact of mountainous skirts direction
of Iran on differences in altitude of
wither and ice equilibrium line of
quaternary, geography and
environmental planning journal, year
21- vol 40- no 4, winter 2011. Pp 1-12.
- Schweizer, G., 1970, the kuhe sabalan
(northe west Iran) contributions to
the glacier and glazial
geomorphology of high mountains,
in: H Schroder (eds). Beitrage zur
geographie de tropen and
subtropen Tubiger geographische
studien, PP: 163-178.
- Write, H.E., N.Y. 1963, Preliminary
Pollen Studies at Lacke Zeribar,
Zagros Mountains, and Southwest
Iran.